

信州大学工学部

正員 荒木正夫

信州大学工学部

正員 寒川典昭

信州大学大学院

学生員○寺島 彰

信州大学工学部

学生員 佐藤健次

1. はじめに

1) 我々は、今まで最大エントロピー原理（以下 M E P と記す）から確率密度関数を決定する方法を議論し、降水頻度分析を対象としてその妥当性を検討してきた。ところで、複数個の水文量を同時に考えなければならない水工計画などでは、多変数分布が要求される。本報では、この基礎となる 2 変数分布に M E P を導入し、確率密度関数を決定しその特性について検討する。

2. 2 変数 M E P 分布の算定

得られる情報は次の任意次数までのモーメントである。

$$\int_0^\infty \int_0^\infty p(x, y) dx dy = 1 \quad \dots (2.1) \quad \int_0^\infty \int_0^\infty x^a p(x, y) dx dy = a^{\mu_x} \quad \dots (2.2)$$

$$\int_0^\infty \int_0^\infty y^b p(x, y) dx dy = b^{\mu_y} \quad \dots (2.3) \quad \int_0^\infty \int_0^\infty x^c y^d p(x, y) dx dy = c d^{\mu_{xy}} \quad \dots (2.4)$$

これを制約条件として、次の相互エントロピーを最大化する分布を求めるることは、自然現象の説明において妥当な立場と考える。

$$H(X, Y) = - \int_0^\infty \int_0^\infty p(x, y) \ln p(x, y) dx dy \quad \dots (2.5)$$

そこで、この問題をラグランジュの未定乗数法で解くと、 $p(x, y)$ の推定値は、

$$\hat{p}(x, y) = \exp(-\alpha - \sum_{a=1}^{Na} \beta_a x^a - \sum_{b=1}^{Nb} \gamma_b y^b - \sum_{c=1}^{Nc} \sum_{d=1}^{Nd} \delta_{cd} x^c y^d) \quad \dots (2.6)$$

となる、 $\alpha, \beta_a, \gamma_b, \delta_{cd}$ はラグランジュ乗数であり、以下のように評価する。

$$\beta_a, \gamma_b, \delta_{cd} \text{ の近似値を, } \beta_a^0, \gamma_b^0, \delta_{cd}^0, \text{ 残差を, } \epsilon_a^0, \epsilon_b^0, \epsilon_{cd}^0 \text{ とおくと,}$$

$$\beta_a = \beta_a^0 + \epsilon_a^0, \quad \gamma_b = \gamma_b^0 + \epsilon_b^0, \quad \delta_{cd} = \delta_{cd}^0 + \epsilon_{cd}^0 \quad \dots (2.7)$$

となり、これを(2.2), (2.3), (2.4)式に代入し、テーラー展開の1次までの項を採用すれば、次式が得られる。

$$\sum_{a=1}^{Na} (c_{i+a, 0-i^{\mu_x} C_a, 0}) \epsilon_a^0 + \sum_{b=1}^{Nb} (c_{i, b-i^{\mu_x} C_0, b}) \epsilon_b^0 + \sum_{c=1}^{Nc} \sum_{d=1}^{Nd} (c_{i+c, d-i^{\mu_x} C_c, d}) \epsilon_{cd}^0 = c_{i, 0-i^{\mu_x} C_0, 0}, \quad i=1, 2, \dots, Na \quad \dots (2.8)$$

$$\sum_{a=1}^{Na} (c_{a, j-j^{\mu_y} C_a, 0}) \epsilon_a^0 + \sum_{b=1}^{Nb} (c_{0, j+b-j^{\mu_y} C_0, b}) \epsilon_b^0 + \sum_{c=1}^{Nc} \sum_{d=1}^{Nd} (c_{c, j+d-j^{\mu_y} C_c, d}) \epsilon_{cd}^0 = c_{0, j-j^{\mu_y} C_0, 0}, \quad j=1, 2, \dots, Nb \quad \dots (2.9)$$

$$\sum_{a=1}^{Na} (c_{k+a, l-k^{\mu_{xy}} C_a, 0}) \epsilon_a^0 + \sum_{b=1}^{Nb} (c_{k, l+b-k^{\mu_{xy}} C_0, b}) \epsilon_b^0 + \sum_{c=1}^{Nc} \sum_{d=1}^{Nd} (c_{k+c, l+d-k^{\mu_{xy}} C_c, d}) \epsilon_{cd}^0 = c_{k, l-k^{\mu_{xy}} C_0, 0}, \quad k=1, 2, \dots, Nc, \quad l=1, 2, \dots, Nd \quad \dots (2.10)$$

ここで、 $c_{i,j}$ は、

$$c_{i,j} = \int_0^\infty \int_0^\infty x^i y^j \exp(-\sum_{a=1}^{Na} \beta_a^0 x^a - \sum_{b=1}^{Nb} \gamma_b^0 y^b - \sum_{c=1}^{Nc} \sum_{d=1}^{Nd} \delta_{cd}^0 x^c y^d) dx dy$$

そこで、上の連立方程式を解き、 $\epsilon_a^\beta, \epsilon_b^\gamma, \epsilon_{cd}^\delta$ が十分小さくなるまで、 $\beta_a^0, \gamma_b^0, \delta_{cd}^0$ を修正していく。

次に、変数変換、 $u = x / {}_1\mu_x$, $v = y / {}_1\mu_y$ 、により確率変数を規準化しておく。規準化されたモーメントは、 $a^m_x = a^\mu_x / ({}_1\mu_x)^a$, $b^m_y = b^\mu_y / ({}_1\mu_y)^b$, $cd^m_{xy} = cd^\mu_{xy} / \{({}_1\mu_x)^c({}_1\mu_y)^d\}$ となる。

3. 2変数 M E P 分布の適合度と特性

母集団分布として、確率密度関数が次式で与えられる2変数ガンマ分布を用いる。

$$p(x,y) = \frac{1}{\Gamma(v)} \frac{\frac{v+1}{2}}{\sigma_1 \sigma_2} \exp \left\{ -\frac{x}{\sigma_1(1-\rho)} - \frac{y}{\sigma_2(1-\rho)} \right\} (xy)^{\frac{v-1}{2}} I_{v-1} \left[\frac{2\sqrt{\rho}}{1-\rho} \sqrt{\frac{xy}{\sigma_1 \sigma_2}} \right] \quad \dots (3.1)$$

$v=4$, $\rho=0.5$ とした2変数ガンマ分布の規準化されたモーメント（表の v_{pq} ）を用い、M E P 分布を決定する。ラグランジュ乗数は、表のようになり、これらを(2.6)式に代入すると、M E P 分布が得られる。ここで、 $2G(4, 0.5)$

は(3.1)式で $v=4$, $\rho=0.5$ とした分布であり、 $2G(s, t, u, v)$ は $N_s = s$, $N_b = t$, $N_c = u$, $N_d = v$ の2変数M E P 分布である。図は、理論分布と、このようにして求めたM E P 分布を示しており、モーメントの増加に伴い分布形の適合度の改善の様子がうかがわえる。

$2G(4, 4, 2, 2)$ は母集団分布の傾向をよくとらえている。

4. あとがき

ここでは、 $v=4$, $\rho=0.5$ の2変数ガンマ分布を母集団として、M E P 分布を議論したが、他の場合についても同様な結果を得ている。

今後は、モーメントの安定性と2変数M E P 分布の感度分析を行ない、最もよい適合のモーメントの次数について考察を加えるとともに、実測データへの適用をはかりたいと考えている。

(参考文献)

- 1) 寒川、荒木、甲田：降水頻度分析へのM E P の導入について、第37回土木学会年次学術講演会講演概要集、昭和57年10月。

表 ラグランジュの乗数とモーメント ($v=4, \rho=0.5$)

	$2G(2,2,1,1)$	$2G(4,4,1,1)$	$2G(4,4,2,2)$	モーメント
α	2.1283	5.3627	4.5707	
$\beta_1 (= \gamma_1)$	-8.3625	-8.3625	-7.2592	$v_{10}(v_{01})$ 1.0
$\beta_2 (= \gamma_2)$	9.7708	9.7708	10.475	$v_{20}(v_{02})$ 2.0
$\beta_3 (= \gamma_3)$	-3.1215	-3.1215	-3.6144	$v_{30}(v_{03})$ 6.0
$\beta_4 (= \gamma_4)$	0.39584	0.39584	0.42859	$v_{40}(v_{04})$ 24.0
δ_{11}	-2.6116	-2.3235	-6.3267	v_{11} 1.2
δ_{12}	—	—	1.0551	v_{12} 2.8
δ_{21}	—	—	1.0551	v_{21} 2.8
δ_{22}	—	—	0.22084	v_{22} 7.36

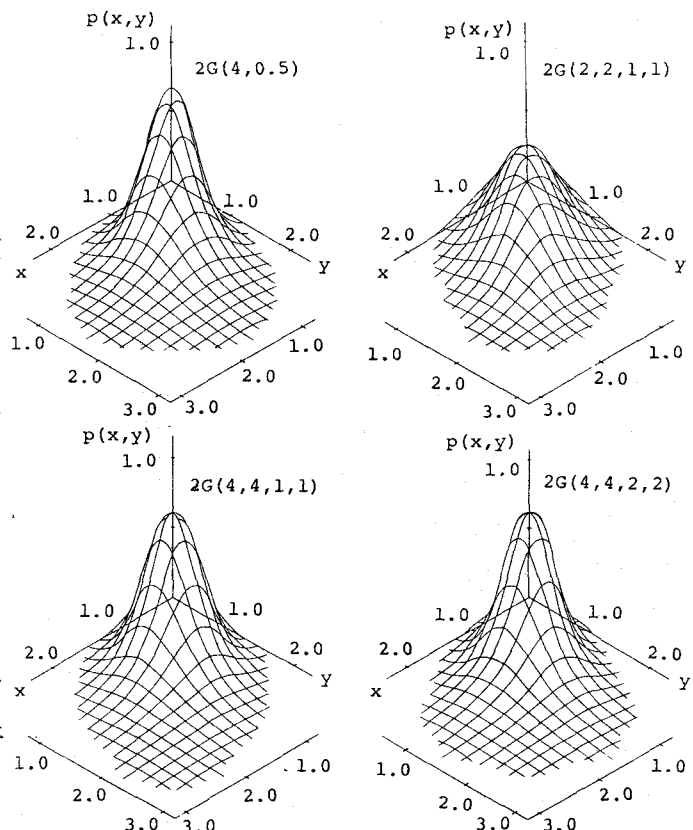


図 MEP 分布による適合